

รายการอ้างอิง

- ชูครี วงศ์รัตน์. 2530. เทคนิคการใช้สกัดเพื่อการวิจัย. ศูนย์ห้องสือจุฬาลงกรณ์มหาวิทยาลัย
- Chrles ,L.Mantell. 1958. Engineering material handbook.(1st ed).
Newyork:Mcgraw hill book Co.
- Charles ,R.Hicks. 1973. Fundamental concepts in the design of experiment. (2nd ed).Holt,Rinehart and winston.
- Facts about norton grinding wheels. 1977. Norton Co.
- Geoffrey boothroyd. 1977. Fundamental of metal machining and machine tools. Washington ,D.C.: Scripta book Co.
- Harmer ,E.Davis , Geroge earl troxell and clement,T.wiskcal.
1964. The testing and inspection of engineering material.
(3rd ed).Newyork:Mcgrawhill book Co.
- Manfred weck. 1984. Handbook of machine tools. volumn 2. London:
John wiley & sons.
- Norton product information diamond and cbn grinding wheel. 1978.
Norton Co.



ภาคผนวก

ศูนย์วิทยุรัพยากร
จุฬาลงกรณ์มหาวิทยาลัย

ภาคผนวก ก

วิธีคำนวณสมการค่าความโค้งงอของล้อหินเจียร์ใน

จากสมการที่ 191 (1) สำหรับ ค่าความโค้งงอ ที่เกิดขึ้นของ เพลทวงกลม
ที่มีแรงที่กระทำด้านข้าง กระทำอยู่ท่าไฉ่จากสมการ

$$\Delta \Delta W = \left(\frac{\partial^2}{\partial r^2} + \frac{1}{r} \frac{\partial}{\partial r} + \frac{1}{r^2} \frac{\partial^2}{\partial \theta^2} \right) \left(\frac{\partial^2 W}{\partial r^2} + \frac{1}{r} \frac{\partial W}{\partial r} + \frac{1}{r^2} \frac{\partial^2 W}{\partial \theta^2} \right) = \frac{q}{D} \quad (2.1.1)$$

เมื่อ

W = ค่าความโค้งงอของล้อหินเจียร์ใน

q = แรงที่กระจาบนเพลทที่กระทำในทิศทางลง

D = flexual rigidity

$$= Eh^3 / 12(1 - \nu^2)$$

E = โมดูลล์ยืดหยุ่น

ν = อัตราล่วนไฟของ

เนื่องจากในการผิวที่ทำการพิจารณา ไม่มีแรงที่กระจาบนเพลทกระจาอยู่บน
เพลท ดังนั้น $q = 0$ สมการเชียนได้ใหม่เป็น

$$\left(\frac{\partial^2}{\partial r^2} + \frac{1}{r} \frac{\partial}{\partial r} + \frac{1}{r^2} \frac{\partial^2}{\partial \theta^2} \right) \left(\frac{\partial^2 W}{\partial r^2} + \frac{1}{r} \frac{\partial W}{\partial r} + \frac{1}{r^2} \frac{\partial^2 W}{\partial \theta^2} \right) = 0 \quad (2.1.2)$$

โดยที่ค่าตอบของสมการจะอยู่ในรูปของ อนุกรมฟูเรียร์ ดังนี้

$$W = R_0 + \sum_{m=1}^{\infty} R_m \cos(m\theta) \quad (2.1.3)$$

$$\text{เมื่อ } R_0 = A_0 + B_0 \cdot r^2 + C_0 \cdot \log r + D_0 \cdot r^2 \cdot \log r \quad (2.1.4)$$

$$R_1 = A_1 \cdot r + B_1 \cdot r^3 + C_1 \cdot r^{-1} + D_1 \cdot r \cdot \log r \quad (2.1.5)$$

$$R_m = A_m \cdot r^m + B_m \cdot r^{-m} + C_m \cdot r^{m+2} + D_m \cdot r^{-m+2} \quad (2.1.6)$$

โดยมี Boundary Conditions ดังนี้

ที่ inner boundary

$$(W)_{r=b} = 0, \quad \left(\frac{\partial W}{\partial r} \right)_{r=b} = 0 \quad (a)$$

และที่ outer boundary จะมีแรงที่กระทำเป็นจุดกระทำอยู่ชั้งค่าโน้มแน่นตัด

$$(Mr)_{r=\infty} = 0 \quad (b)$$

และ แรงเนื่อง จะมีค่า

$$(V)_{r=\infty} = \frac{F_t z \cdot (1 + \sum_{m=1}^{\infty} a_m \cos(m\theta))}{\pi \cdot a^2} \quad (c)$$

เมื่อ $F_t z$ = แรงที่กระทำเป็นจุดกระทำที่ปลายของ เพลท

สมการ a, b, c เป็น boundary conditions ทั้งหมดที่ใช้ในการหาค่าคงที่ของสมการ (2.1.3...2.1.6)

พิจารณาที่ R_0

$$R_0 = A_0 + B_0 \cdot r^3 + C_0 \cdot \log r + D_0 \cdot r^2 \cdot \log r \quad (2.1.4)$$

$$w = A_0 + B_0 \cdot r^3 + C_0 \cdot \log r + D_0 \cdot r^2 \cdot \log r$$

$$(w)_{r=b} = 0 = A_0 + B_0 \cdot b^3 + C_0 \cdot \log b + D_0 \cdot b^2 \cdot \log b \quad (2.1.4.a)$$

$$\frac{\partial w}{\partial r} = 2 \cdot r \cdot B_0 + \frac{C_0}{r} + 2 \cdot D_0 \cdot r \log r + D_0 \cdot r$$

$$\frac{(\partial w)}{\partial r}_{r=b} = 0 = 2 \cdot b \cdot B_0 + \frac{C_0}{b} + 2 \cdot D_0 \cdot b \cdot \log b + D_0 \cdot b \quad (2.1.4.b)$$

จากสมการที่ 192(1) โน้มเนต์ในแนวรัศมีบันเพลทวงกลมจะเท่ากัน

$$M_r = -D \left[\frac{\partial^2 w}{\partial r^2} + \nu \left(\frac{1 \cdot \partial w}{r \cdot \partial r} + \frac{1 \cdot \partial^2 w}{r^2 \cdot \partial \theta^2} \right) \right]$$

$$\frac{\partial^2 w}{\partial r^2} = 2 \cdot B_0 - \frac{C_0}{r^2} + 2 \cdot D_0 \cdot \log r + D_0 + 2 \cdot D_0$$

$$\frac{\partial w}{\partial \theta} = 0 ; \quad \frac{\partial^2 w}{\partial \theta^2} = 0$$

$$M_r = -D \left[2B_0 - \frac{C_0}{r^2} + 2D_0 \log r + 3D_0 + \nu \left(2B_0 + \frac{C_0}{r^2} + 2D_0 \log r + D_0 \right) \right]$$

$$(M_r)_{r=a} = 0 \\ = -D \left[2B_0 - \frac{C_0}{a^2} + 2D_0 \log a + 3D_0 + \nu \left(2B_0 + \frac{C_0}{a^2} + 2D_0 \log a + D_0 \right) \right] \quad (2.1.4.c)$$

และจากสมการที่ j ในบทที่ 9 (1) ค่า Strain Energy มีค่าเท่ากัน

$$V = (Q_r - \frac{\partial M_r t}{r \cdot \partial \theta})$$

เมื่อ Mrt คือค่า โนเมนต์บิด จากสมการที่ 192(1) มีค่าเท่ากับ

$$Mrt = (1 - \nu) \cdot D \cdot \frac{1.0^2 w}{r \cdot 0r00} - \frac{1.0w}{r^2 \cdot 00}$$

$$\frac{\partial w}{\partial r} = 2 \cdot r \cdot B0 + \frac{C0 + 2 \cdot D0 \cdot r \log r + D0 \cdot r}{r}$$

$$\frac{\partial^2 w}{\partial r^2} = 0 ; \quad \frac{\partial w}{\partial \theta} = 0$$

เพราฉะนั้นจะเห็นว่าค่า Mrt = 0

และค่า Qr คือ แรงเฉือน สมการที่ 193(1) มีค่าเท่ากับ

$$Qr = -D \frac{\partial (\Delta w)}{\partial r}$$

เมื่อ

$$\begin{aligned} \Delta w &= \frac{\partial^2 w}{\partial r^2} + \frac{1.0w}{r \cdot 0r} + \frac{1.0^2 w}{r^2 \cdot 0^2 \theta} \\ &= 4B0 + 4D0 \log r + 4D0 \end{aligned}$$

$$\frac{\partial (\Delta w)}{\partial r} = \frac{4D0}{r}$$

เพราฉะนั้นค่า Qr = $-D \cdot 4 \cdot D0 / r$

แทนค่าใน V จะได้

$$V = -D \cdot 4 \cdot D0 / r$$

จาก boundary conditions(c) จะได้

$$(V)_{r=\infty} = \frac{P \cdot (1 + \sum_{m=1}^{\infty} \cos(m\theta))}{\pi \cdot a \cdot 2} \quad (c)$$

เมื่อพิจารณาที่ $m = 0$ จะได้

$$(V)_{r=\infty} = P/(2\pi a) = -D \cdot 4 \cdot D0/a$$

$$\text{เพรากฉนัช} \quad D0 = -P/\pi a D \quad (2.1.4.d)$$

จากสมการที่ (2.1.4.a,b,c,d) ใช้ในการหาค่าคงที่ $A0, B0, C0, D0$ โดยเชิงอน
อยุ่ในรูปของ Simultaneous Equation ได้ดังนี้

$$\begin{bmatrix} 1 & b^2 & \log b & b^2 \log b \\ 0 & 2b & 1/b & (2b \log b + b) \\ 0 & 2D(1+\gamma) & D(\gamma-1)/a^2 & D(2 \log a + 3 + (2 \log a + 1)) \\ 0 & 0 & 0 & 1 \end{bmatrix} \begin{bmatrix} A0 \\ B0 \\ C0 \\ D0 \end{bmatrix}$$

$$= \begin{bmatrix} 0 \\ 0 \\ 0 \\ -\frac{Ftz}{\pi a D} \end{bmatrix} \quad (2.1.7)$$

พิจารณาที่ R_1 , $m = 1$

การวิเคราะห์ทำเช่นเดียวกับการพิจารณาที่ R_0 โดยเริ่มจากสมการ

$$R_1 = A_1 \cdot r + B_1 \cdot r^3 + C_1 \cdot r^{-1} + D_1 \cdot r \cdot \log r \quad (2.1.5)$$

ซึ่งจะทำให้ได้สมการต่าง ๆ จาก boundary conditions ที่กำหนดให้ดังต่อไปนี้

$$(w)_{r=b} = 0 = (A_1 \cdot b + B_1 \cdot b^3 + D_1 \cdot b \cdot \log b) \cos \theta \quad (2.1.5.a)$$

$$(w)_{r=a} = 0 = (A_1 + 3 \cdot b^2 \cdot B_1 - C_1 + D_1 \cdot \log b + D_1) \cos \theta \quad (2.1.5.b)$$

$$(M_r)_{r=a} = -D \cos \theta \left[\frac{6aB_1}{a^3} + \frac{2C_1}{a} + \frac{D_1}{a^3} + \frac{\gamma(2aB_1 - 2C_1 + D_1)}{a} \right] = 0$$

$$(2.1.5.c)$$

$$(V)_{r=a} = aPv = -D \left(\frac{5B_1 + 3B_1 - 2D_1}{a^2} \cos \theta - \frac{(1-\gamma)}{a^4} D \cos \theta \left(\frac{2C_1 - 2B_1 - D_1}{a^2} \right) \right)$$

$$= \frac{F_{tz}}{\pi \cdot a} \frac{(1 + \cos \theta)}{2} \quad (2.1.5.d)$$

จากสมการที่ (2.1.5.a,b,c,d) จะหาค่า A_1, B_1, C_1, D_1 ได้โดยเขียน
อยู่ในรูปของ simultaneous equation ได้ดังนี้

จุฬาลงกรณ์มหาวิทยาลัย

$$\cos\theta \begin{bmatrix} b & b^3 & 1/b & b\log b \\ 1 & 3b^2 & -1/b^2 & (\log b + 1) \\ 0 & D(\gamma 2a + 6a) & 2D(1-\gamma)/a^3 & D(1+\gamma)/a \\ 0 & -D(2\gamma + 6) & -(1-\gamma)2D/a^4 & D(3-\gamma)/a^2 \end{bmatrix} \begin{bmatrix} A_1 \\ B_1 \\ C_1 \\ D_1 \end{bmatrix}$$

$$= \begin{bmatrix} 0 \\ 0 \\ 0 \\ \frac{Ftz(1 + \cos\theta)}{\pi \cdot a^2} \end{bmatrix} \quad (2.1.8)$$

พิจารณาที่ R_m เมื่อ $m > 1$

การวิเคราะห์ทำเข่นเดียวกับ R_0 และ R_1 โดยมีสมการสำหรับ ค่าความโค้งงอ (w) ดังนี้

$$R_m = A_m \cdot r^m + B_m \cdot r^{-m} + C_m \cdot r^{m+2} + D_m \cdot r^{-m+2} \quad (2.1.6)$$

จาก boundary condition ที่กำหนดให้โดยสมการ a,b,c สามารถที่จะหาค่าคงที่ A_m, B_m, C_m, D_m ต่างๆ ที่ $m > 1$ โดยการวิเคราะห์เมื่อกับ R_0, R_1 จะได้สมการสำหรับหาค่าคงที่ ดังต่อไปนี้



$$\cos m\theta(b^m A_m + b^{-m} B_m + b^{m+2} C_m + b^{-(m-2)} D_m) = 0$$

$$\cos m\theta(mb^{m-1} A_m - mb^{-(m+1)} B_m + (m+2)b^{m+1} C_m - (m-2)b^{-(m-1)} D_m) = 0$$

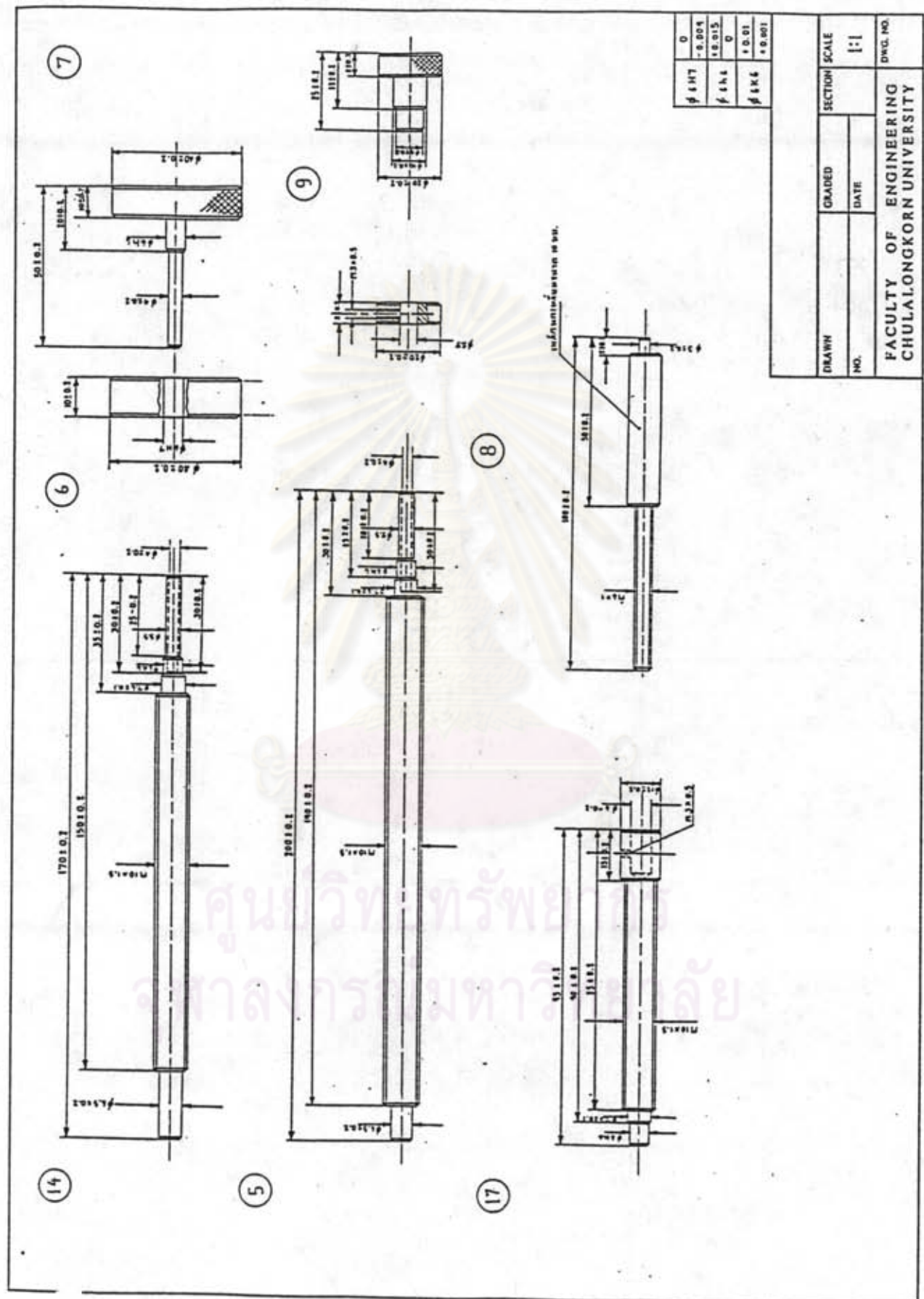
$$\begin{aligned}
 & (-D \cdot \cos m\theta), (m(m-1)a^{m-2} + \gamma \cdot m \cdot a^{m-2} - \gamma \cdot m^2 a^{m-2}) A_m + \\
 & (-D \cdot \cos m\theta), (m(m+1)a^{-(m+2)} - \gamma \cdot m \cdot a^{-(m+2)} - \gamma \cdot m^2 a^{-(m+2)}) B_m + \\
 & (-D \cdot \cos m\theta), (\gamma(m+2)a^m + (m+2)(m+1)a^m - \gamma \cdot m^2 a^m) C_m + \\
 & (-D \cdot \cos m\theta), ((m-2)(m-1)a^{-m} - \gamma(m-2)a^{-m} - \gamma \cdot m^2 a^{-m}) D_m = 0 \\
 & \{(1 - \gamma)D \cdot m^3 \cos m\theta[m \cdot a^{m-3} - a^{m-3}] - \\
 & D \cos m\theta[m(m-1)(m-2)a^{m-3} + m(m-2)a^{m-3} - m^2 \cdot (m-2)a^{m-3}] A_m + \\
 & \{(1 - \gamma)D \cdot m^2 \cos m\theta[-m \cdot a^{-(m+3)} - a^{-(m+3)}] - \\
 & D \cos m\theta[m(m+2)a^{-(m+3)} + m(m+2)(m+1)a^{-(m+3)} + m^2 \cdot (m+2)a^{-(m+3)}] B_m + \\
 & \{(1 - \gamma)D \cdot m^2 \cos m\theta[(m+2) \cdot a^{(m-1)} - a^{(m-1)}] - \\
 & D \cos m\theta[(m+2)(m+1)m a^{(m-1)} + m(m+2)a^{(m-1)} - m^3 \cdot a^{(m-1)}] C_m + \\
 & \{(1 - \gamma)D \cdot m^2 \cos m\theta[-a^{-(m+1)} - (m-2)a^{-(m+1)}] - \\
 & D \cos m\theta[-(m-1)(m-2)m a^{-(m+1)} + m(m-2)a^{-(m+1)} - m^3 \cdot a^{-(m+1)}] D_m + \\
 & = \frac{F_t z}{\pi \cdot a} \frac{(1 + \cos m\theta)}{2} \quad (2.1.9)
 \end{aligned}$$

ศูนย์วิทยาศาสตร์
จุฬาลงกรณ์มหาวิทยาลัย

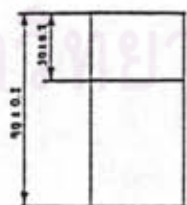
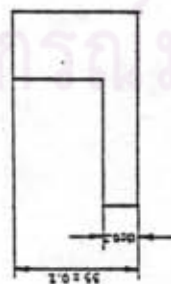
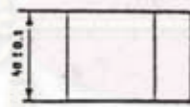
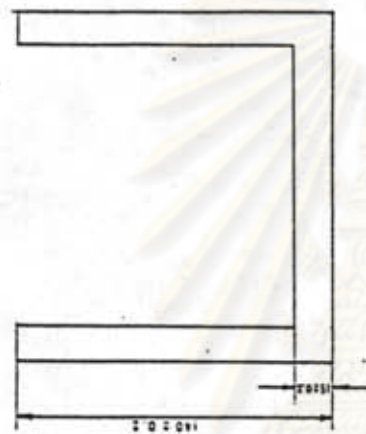
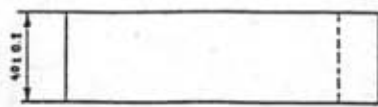
ภาคผนวก ช

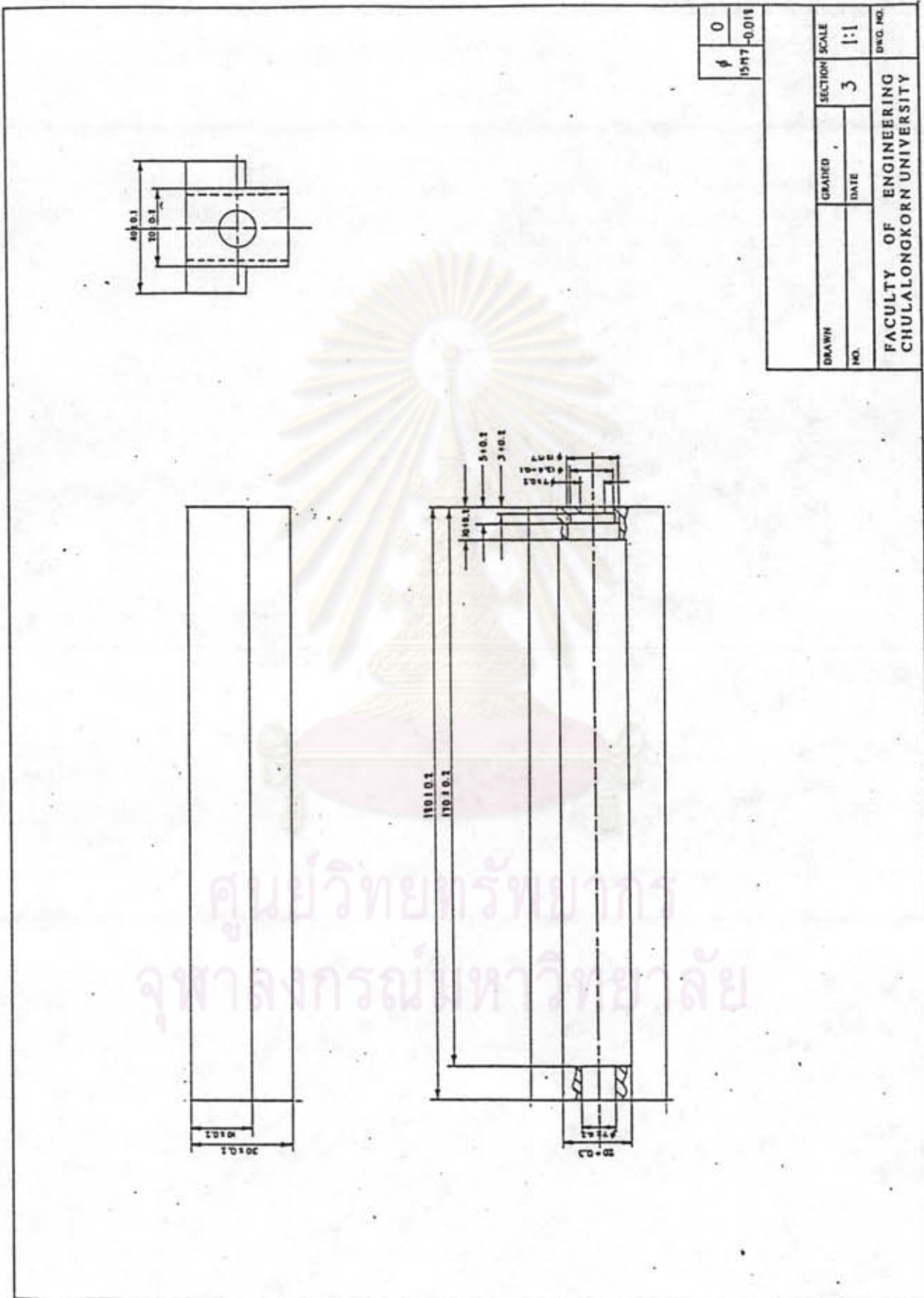
ส่วนประกอบต่างๆ ของเครื่องเข้าร่องผลอย

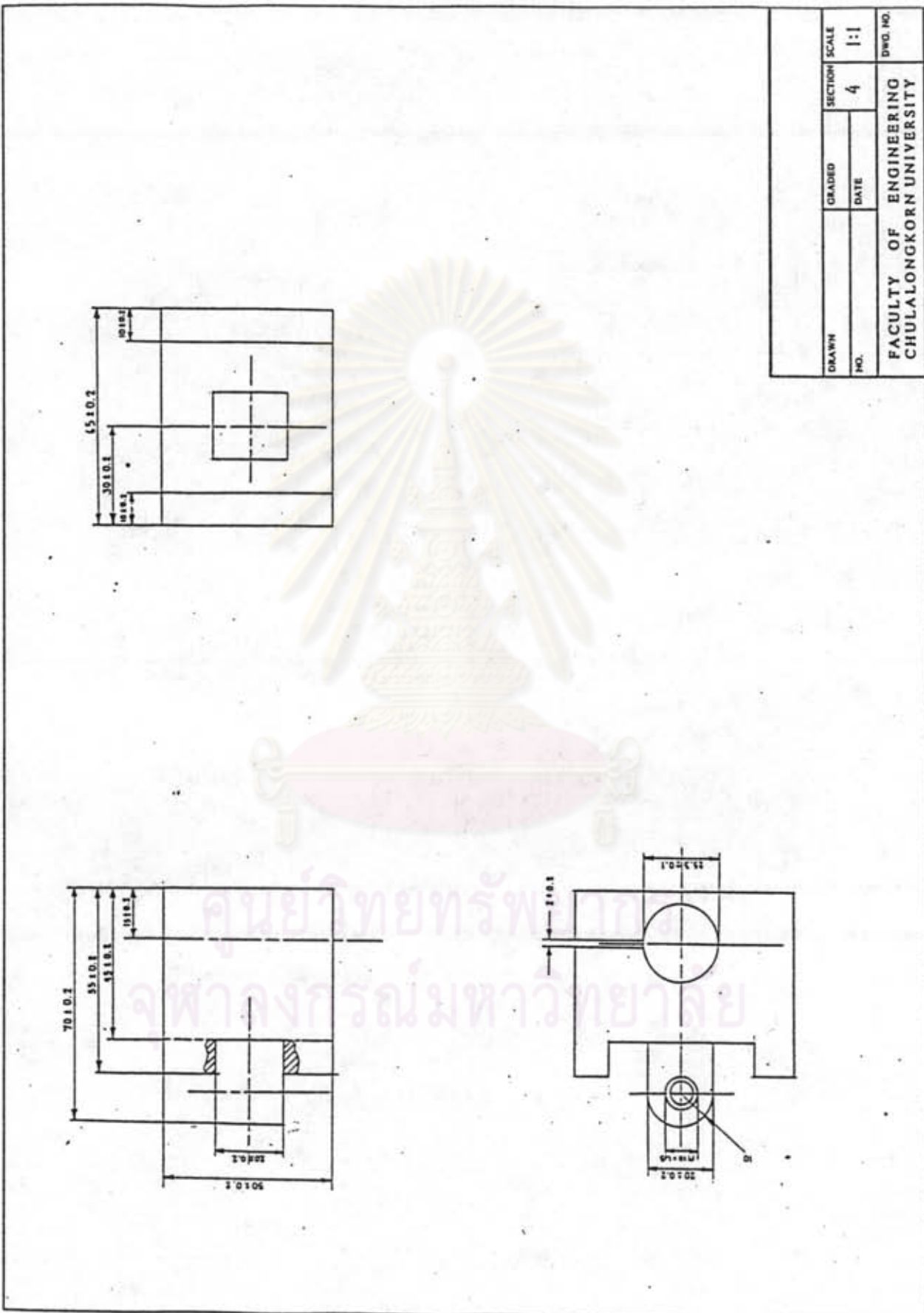
ศูนย์วิทยบรังษยการ
จุฬาลงกรณ์มหาวิทยาลัย

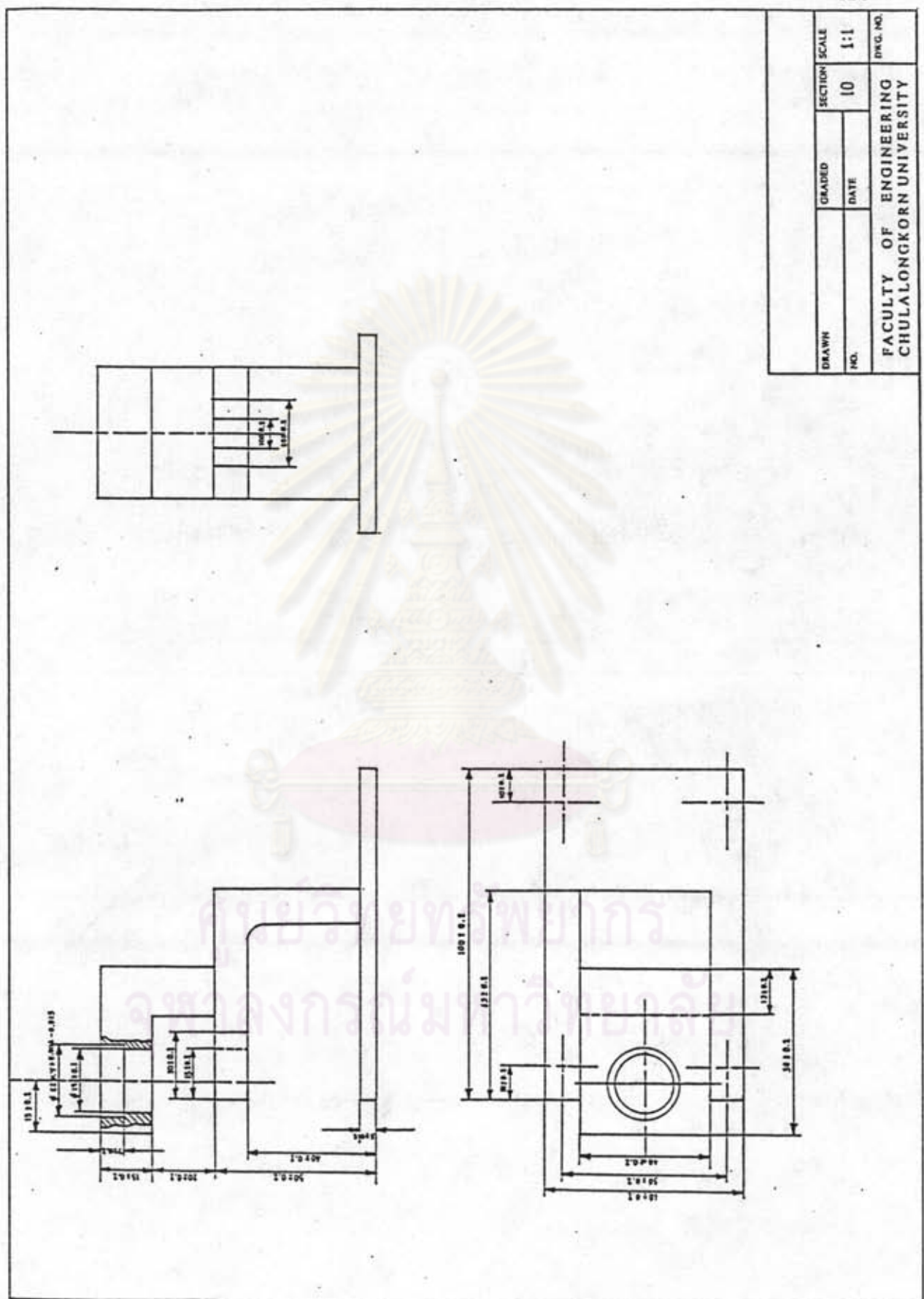


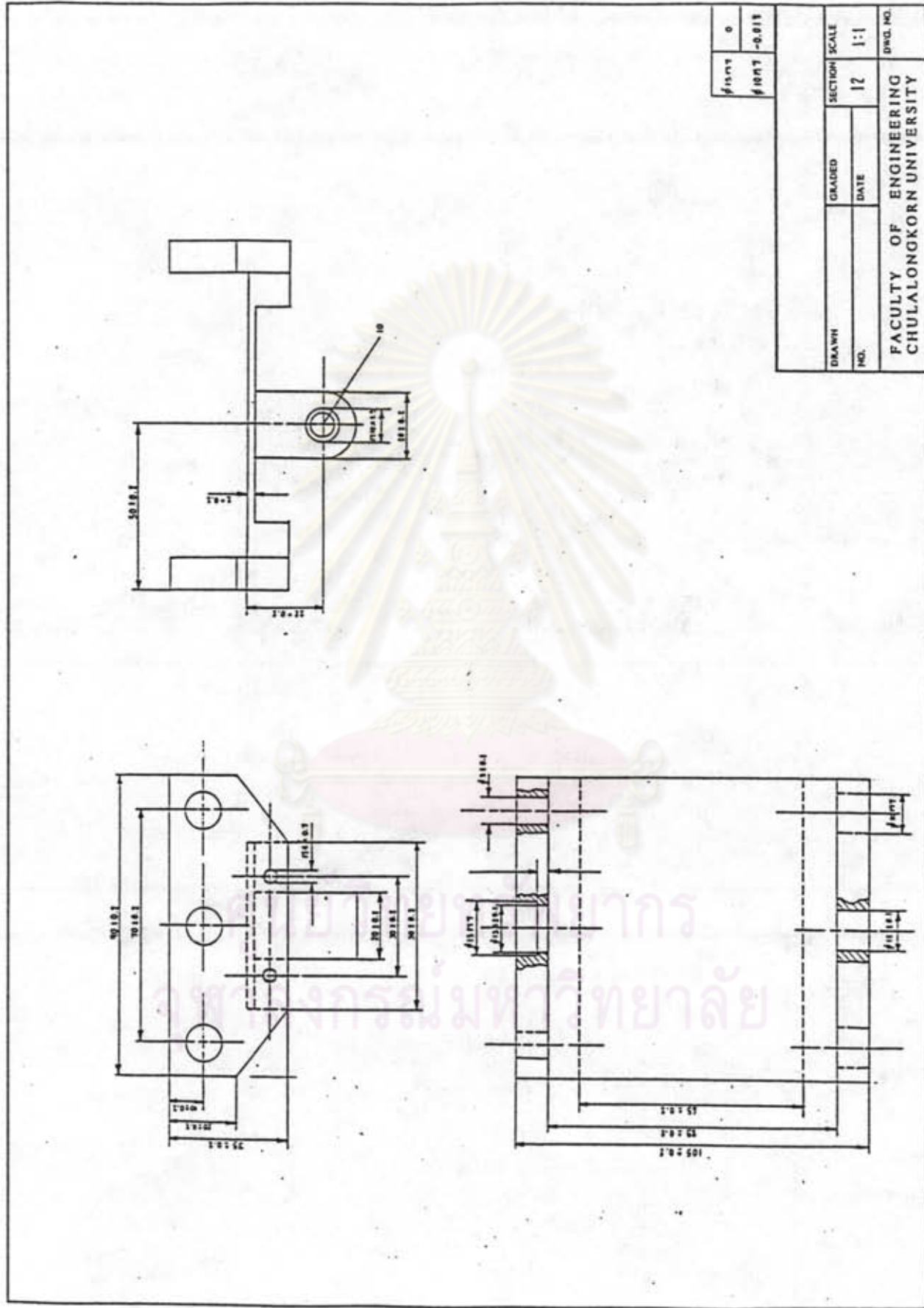
DRAWN NO.	GRADED	SECTION	SCALE
NO.	DATE	2	1:2
FACULTY OF ENGINEERING CHULALONGKORN UNIVERSITY			DWG. NO.

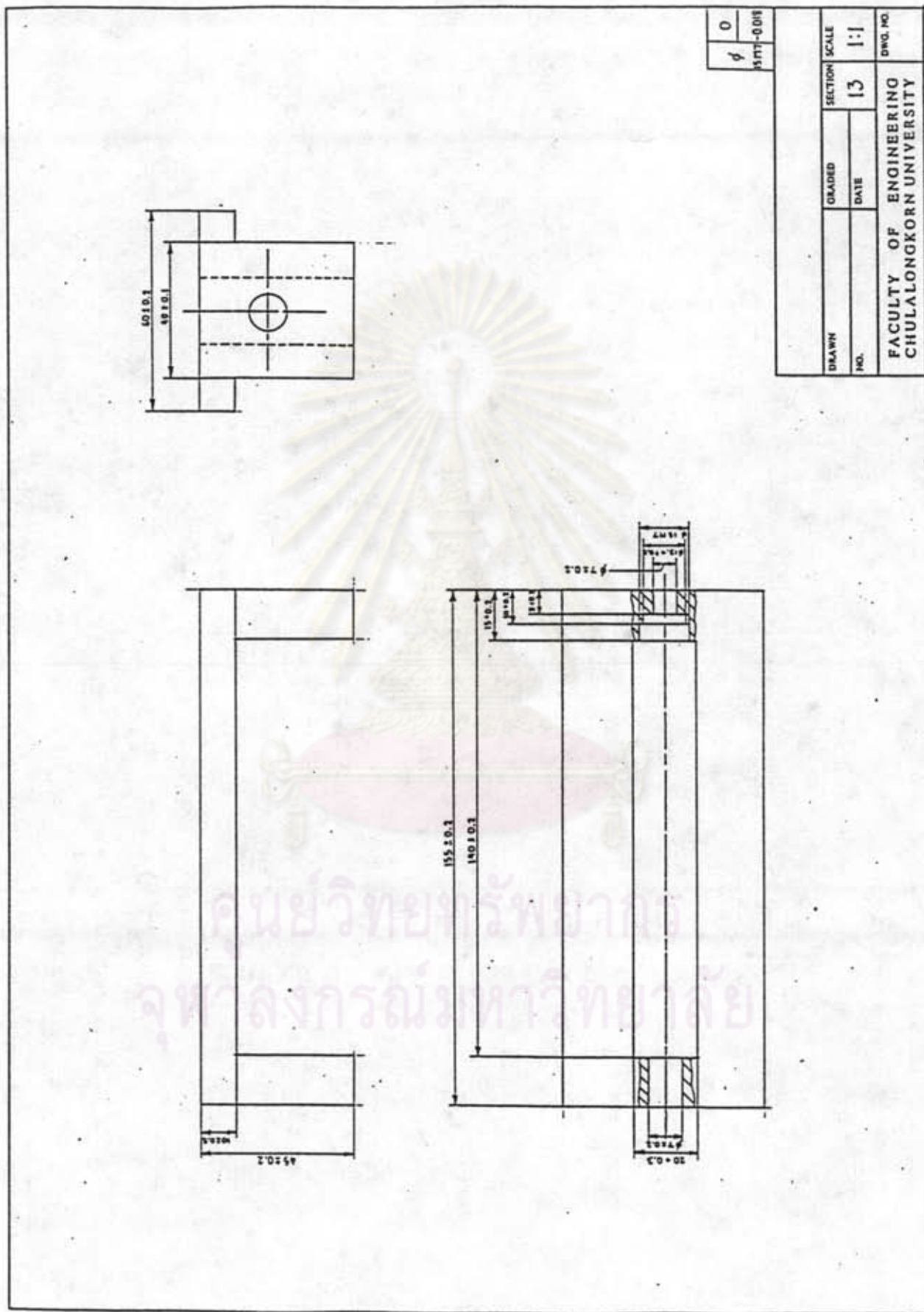








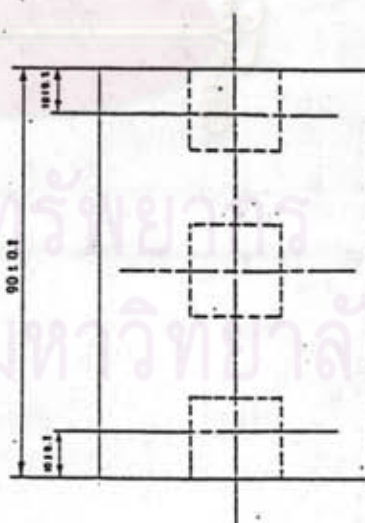
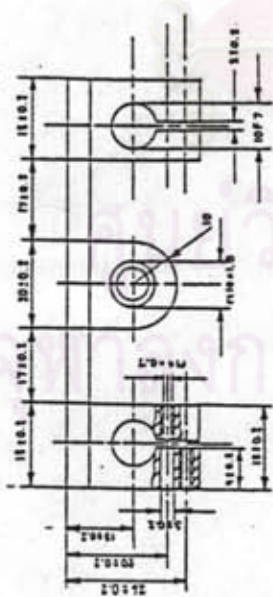
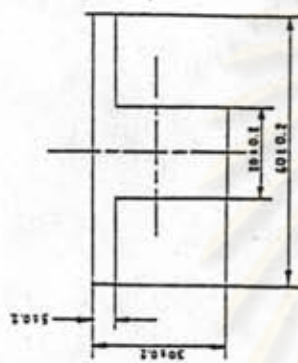




ϕ	+0.03%
1977	• 0016

DRAWN BY	GRADE	SECTION	SCALE
NO.	DATE	18	1:1

FACULTY OF ENGINEERING
CHULALONGKORN UNIVERSITY

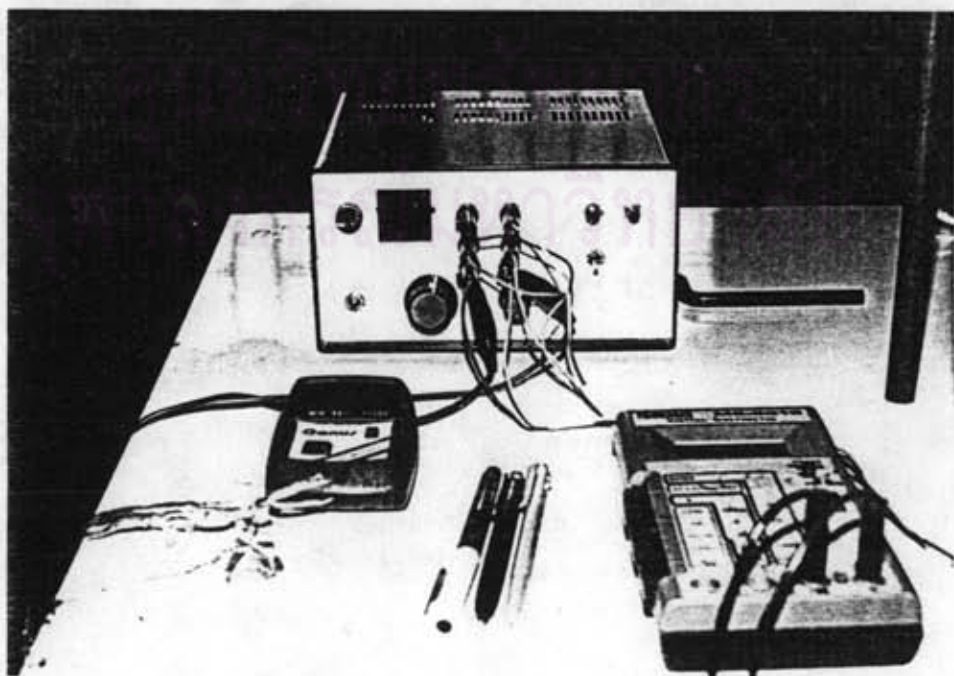
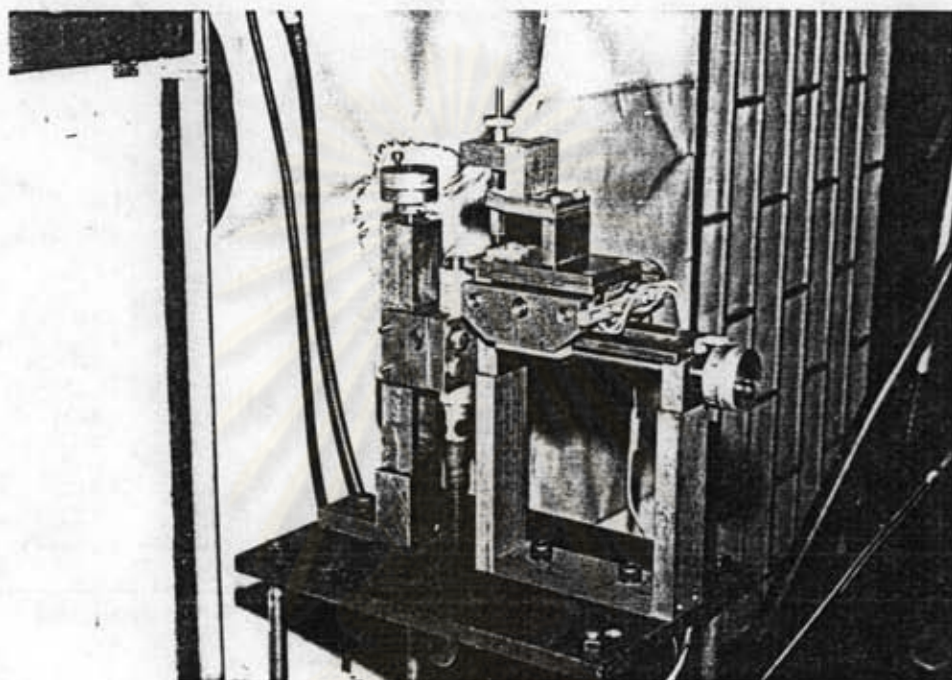




109

ภาคพนวก ๔

เครื่องเชาะร่องผลอยที่ใช้ในการทดลอง



ภาคผนวก ๔
ข้อมูลที่ได้จากการทดลอง
ตารางที่ 1 ผลที่ได้จากการทดลองชุดที่ 2

RPM		11,000			
		1	2	3	4
Feed [mm/s]	DEPTH OF CUT	0.28	0.18	0.21	0.25
	WIDTH	0.49	0.48	0.59	0.48
	DEFLECTION	0.29	0.23	0.20	0.13
0.2	DEPTH OF CUT	0.19	0.24	0.30	0.33
	WIDTH	0.35	0.50	0.32	0.40
	DEFLECTION	0.13	0.21	0.21	0.16
0.3	DEPTH OF CUT	0.31	0.30	0.24	0.30
	WIDTH	0.58	0.53	0.47	0.58
	DEFLECTION	0.31	0.41	0.26	0.39
0.4	DEPTH OF CUT	0.32	0.16	0.35	0.28
	WIDTH	0.65	0.55	0.63	0.50
	DEFLECTION	0.41	0.29	0.39	0.31

ตารางที่ 1 (ต่อ)

RPM		12,000			
		1	2	3	4
Feed [mm/s]					
0.1	DEPTH OF CUT	0.19	0.23	0.33	0.21
	WIDTH	0.33	0.43	0.41	0.30
	DEFLECTION	0.14	0.16	0.21	0.11
0.2	DEPTH OF CUT	0.20	0.29	0.30	0.31
	WIDTH	0.70	0.45	0.38	0.68
	DEFLECTION	0.41	0.29	0.21	0.19
0.3	DEPTH OF CUT	0.30			
	WIDTH	0.57	----- แมก -----		
	DEFLECTION	0.33			
0.4	DEPTH OF CUT	0.30	0.50	0.34	0.46
	WIDTH	0.48	0.40	0.45	0.65
	DEFLECTION	0.24	0.26	0.19	0.36

ตารางที่ 1 (ต่อ)

RPM		13,000			
		1	2	3	4
Feed [mm/s]					
0.1	DEPTH OF CUT	0.25	0.15	0.13	0.18
	WIDTH	0.55	0.32	0.40	0.35
	DEFLECTION	0.31	0.08	0.21	0.13
0.2	DEPTH OF CUT	0.23	0.15	0.26	0.27
	WIDTH	0.35	0.47	0.34	0.35
	DEFLECTION	0.18	0.31	0.16	0.21
0.3	DEPTH OF CUT	0.19	0.23	0.15	0.26
	WIDTH	0.27	0.48	0.38	0.50
	DEFLECTION	0.06	0.29	0.21	0.26
0.4	DEPTH OF CUT	0.23	0.24	0.26	0.28
	WIDTH	0.60	0.60	0.46	0.38
	DEFLECTION	0.34	0.41	0.23	0.19



ตารางที่ 1 (ต่อ)

RPM		14,000			
		1	2	3	4
Feed [mm/s]					
0.1	DEPTH OF CUT	0.18	0.19	0.23	0.30
	WIDTH	0.40	0.37	0.35	0.40
	DEFLECTION	0.21	0.18	0.11	0.16
0.2	DEPTH OF CUT	0.24	0.34	0.29	0.29
	WIDTH	0.43	0.40	0.50	0.45
	DEFLECTION	0.21	0.21	0.26	0.19
0.3	DEPTH OF CUT	0.14	0.28	0.17	0.32
	WIDTH	0.40	0.50	0.45	0.41
	DEFLECTION	0.24	0.21	0.21	0.16
0.4	DEPTH OF CUT	0.22	0.36	0.45	0.36
	WIDTH	0.40	0.62	0.72	0.50
	DEFLECTION	0.10	0.33	0.38	0.31

ตารางที่ 1 (ต่อ)

RPM		15,000			
		1	2	3	4
Feed [mm/s]					
0.1	DEPTH OF CUT	0.25	0.24	0.18	0.30
	WIDTH	0.48	0.48	0.50	0.45
	DEFLECTION	0.29	0.31	0.26	0.18
0.2	DEPTH OF CUT	0.28	0.33	0.34	0.35
	WIDTH	0.30	0.42	0.56	0.45
	DEFLECTION	0.13	0.16	0.28	0.18
0.3	DEPTH OF CUT	0.25	0.32	0.17	0.23
	WIDTH	0.38	0.45	0.41	0.46
	DEFLECTION	0.18	0.19	0.24	0.21
0.4	DEPTH OF CUT	0.20	0.24	0.30	0.16
	WIDTH	0.45	0.50	0.65	0.40
	DEFLECTION	0.23	0.31	0.41	0.21

ภาคผนวก จ
ตารางค่า F - DISTRIBUTIONS

95 per cent points

f_1	1	2	3	4	5	6	7	8	9	10	12	15	20	24	20	40	60	120	∞
f_2																			
1	161.4	199.5	215.7	224.6	230.2	234.0	236.8	238.9	240.5	241.9	243.9	245.9	248.0	249.1	250.1	251.1	252.2	253.3	254.3
2	18.51	19.00	19.16	19.25	19.30	19.33	19.35	19.37	19.38	19.40	19.41	19.43	19.45	19.46	19.47	19.48	19.49	19.50	
3	10.13	9.55	9.28	9.12	9.01	8.94	8.89	8.85	8.81	8.79	8.74	8.70	8.66	8.64	8.62	8.59	8.57	8.55	8.53
4	7.71	6.94	6.59	6.39	6.26	6.16	6.09	6.04	6.00	5.96	5.91	5.86	5.80	5.77	5.75	5.72	5.69	5.66	5.63
5	6.61	5.79	5.41	5.19	5.05	4.95	4.88	4.82	4.77	4.74	4.68	4.62	4.56	4.53	4.50	4.46	4.43	4.40	4.36
6	5.99	5.14	4.76	4.53	4.39	4.28	4.21	4.15	4.10	4.06	4.00	3.94	3.87	3.84	3.81	3.77	3.74	3.70	3.67
7	5.59	4.74	4.35	4.12	3.97	3.87	3.79	3.73	3.68	3.64	3.57	3.51	3.44	3.41	3.38	3.34	3.30	3.27	3.23
8	5.32	4.46	4.07	3.84	3.69	3.58	3.50	3.44	3.39	3.35	3.28	3.22	3.15	3.12	3.08	3.04	3.01	2.97	2.93
9	5.12	4.26	3.86	3.63	3.48	3.37	3.29	3.23	3.18	3.14	3.07	3.01	2.94	2.90	2.86	2.83	2.79	2.75	2.71
10	4.96	4.10	3.71	3.48	3.33	3.22	3.14	3.07	3.02	2.98	2.91	2.85	2.77	2.74	2.70	2.66	2.62	2.58	2.54
11	4.84	3.98	3.59	3.36	3.20	3.09	3.01	2.95	2.90	2.85	2.79	2.72	2.65	2.61	2.57	2.53	2.49	2.45	2.40
12	4.75	3.89	3.49	3.26	3.11	3.00	2.91	2.85	2.80	2.75	2.69	2.62	2.54	2.51	2.47	2.43	2.38	2.34	2.30
13	4.67	3.81	3.41	3.18	3.03	2.92	2.83	2.77	2.71	2.67	2.60	2.53	2.46	2.42	2.38	2.34	2.30	2.25	2.21
14	4.60	3.74	3.34	3.11	2.96	2.85	2.76	2.70	2.65	2.60	2.53	2.46	2.39	2.35	2.31	2.27	2.22	2.18	2.13
15	4.54	3.68	3.29	3.06	2.90	2.79	2.71	2.64	2.59	2.54	2.48	2.40	2.33	2.29	2.25	2.20	2.16	2.11	2.07
16	4.49	3.63	3.24	3.01	2.85	2.74	2.66	2.59	2.54	2.49	2.42	2.35	2.28	2.24	2.19	2.15	2.11	2.06	2.01
17	4.45	3.59	3.20	2.96	2.81	2.70	2.61	2.55	2.49	2.45	2.38	2.31	2.23	2.19	2.15	2.10	2.06	2.01	1.96
18	4.41	3.55	3.16	2.93	2.77	2.66	2.58	2.51	2.46	2.41	2.34	2.27	2.19	2.15	2.11	2.06	2.02	1.97	1.92
19	4.38	3.52	3.13	2.90	2.74	2.63	2.54	2.48	2.42	2.38	2.31	2.23	2.16	2.11	2.07	2.03	1.98	1.93	1.88
20	4.35	3.49	3.10	2.87	2.71	2.60	2.51	2.45	2.39	2.35	2.28	2.20	2.12	2.08	2.04	1.99	1.95	1.90	1.84
21	4.32	3.47	3.07	2.84	2.68	2.57	2.49	2.42	2.37	2.32	2.25	2.18	2.10	2.05	2.01	1.96	1.92	1.87	1.81
22	4.30	3.44	3.05	2.82	2.66	2.55	2.46	2.40	2.34	2.30	2.23	2.15	2.07	2.03	1.98	1.94	1.89	1.84	1.78
23	4.28	3.42	3.03	2.80	2.64	2.53	2.44	2.37	2.32	2.27	2.20	2.13	2.05	2.01	1.96	1.91	1.86	1.81	1.76
24	4.26	3.40	3.01	2.78	2.62	2.51	2.42	2.36	2.30	2.25	2.18	2.11	2.03	1.98	1.94	1.89	1.84	1.79	1.73
25	4.24	3.39	2.99	2.76	2.60	2.49	2.40	2.34	2.28	2.24	2.16	2.09	2.01	1.96	1.92	1.87	1.82	1.77	1.71
26	4.23	3.37	2.98	2.74	2.59	2.47	2.39	2.32	2.27	2.22	2.15	2.07	1.99	1.95	1.90	1.85	1.80	1.75	1.69
27	4.21	3.35	2.96	2.73	2.57	2.46	2.37	2.31	2.25	2.20	2.13	2.06	1.97	1.93	1.88	1.84	1.79	1.73	1.67
28	4.20	3.34	2.95	2.71	2.56	2.45	2.36	2.29	2.24	2.19	2.12	2.04	1.96	1.91	1.87	1.82	1.77	1.71	1.65
29	4.18	3.33	2.93	2.70	2.55	2.43	2.35	2.28	2.22	2.18	2.10	2.03	1.94	1.90	1.85	1.81	1.75	1.70	1.64
30	4.17	3.32	2.92	2.69	2.53	2.42	2.33	2.27	2.21	2.16	2.09	2.01	1.93	1.89	1.84	1.79	1.74	1.68	1.62
40	4.08	3.23	2.84	2.61	2.45	2.34	2.25	2.18	2.12	2.08	2.00	1.92	1.84	1.79	1.74	1.69	1.64	1.58	1.51
60	4.00	3.15	2.76	2.53	2.37	2.25	2.17	2.10	2.04	1.99	1.92	1.84	1.75	1.70	1.65	1.59	1.53	1.47	1.39
120	3.92	3.07	2.68	2.45	2.29	2.17	2.09	2.02	1.96	1.91	1.83	1.75	1.66	1.61	1.55	1.50	1.43	1.35	1.25
∞	3.84	3.00	2.60	2.37	2.21	2.10	2.01	1.94	1.88	1.83	1.75	1.67	1.57	1.52	1.46	1.39	1.32	1.22	1.00

ศูนย์วิทยบรังษย
จุฬาลงกรณ์มหาวิทยาลัย



ประวัติผู้เขียน

นาย ชลิต ใจนวิกษ์สกุล เกิดเมื่อวันที่ 20 ธันวาคม 2506 ที่อำเภอบางรัก จังหวัด กรุงเทพมหานคร สำเร็จการศึกษาปริญญาตรีวิศวกรรมศาสตร์บัณฑิต ภาควิชาวิศวกรรมเครื่องกล สถาบันเทคโนโลยีพระจอมเกล้า พระนครเหนือ ในปีการศึกษา 2529 และเข้าศึกษาต่อในหลักสูตรวิศวกรรมศาสตร์มหานยานพัฒนา ที่จุฬาลงกรณ์มหาวิทยาลัย เมื่อ พ.ศ. 2530

ศูนย์วิทยทรัพยากร
จุฬาลงกรณ์มหาวิทยาลัย